#### La transformada cuántica de Fourier

Juan Carlos Jiménez Cervantes, Egor Maximenko, Eliseo Sarmiento Rosales

> Instituto Politécnico Nacional Escuela Superior de Física y Matemáticas México

> > 18 de julio de 2025

#### Objetivo

La transformada cuántica de Fourier es un circuito cuántico que realiza un análogo de la transformada finita de Fourier  $F_d$  para  $d=2^n$ , trabajando con n cubits.

Vamos a construir este circuito para n = 3, es decir, d = 8.

#### Prerrequisitos

- Raíces de la unidad y sus propiedades.
- Transformada finita de Fourier.
- El producto de Kronecker de vectores.
- Compuertas cuánticas.



Michael A. Nielsen, Isaac L. Chuang (2010):

Quantum Computation and Quantum Information.

Cambridge University Press.

- 1 La transformada finita de Fourier (repaso)
- Descomposiciones auxiliares
- 3 Descomposición de la transformada finita de Fourier
- 4 Algunas compuertas cuánticas (repaso)
- 5 Circuito de la transformada cuántica de Fourier

#### Plan

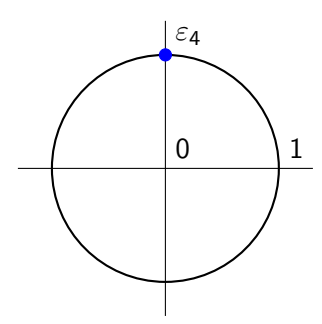
- 1 La transformada finita de Fourier (repaso)
- ② Descomposiciones auxiliares
- O Descomposición de la transformada finita de Fourier
- 4 Algunas compuertas cuánticas (repaso)
- 5 Circuito de la transformada cuántica de Fourier

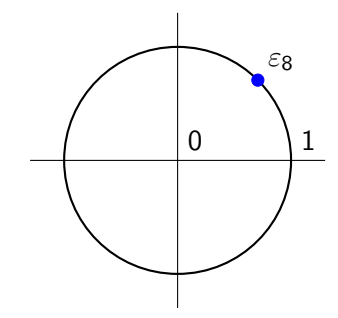
# El número $\varepsilon_d$

$$\varepsilon_d \coloneqq \mathrm{e}^{\frac{2\pi\,\mathrm{i}}{d}}$$
.

$$n=2, d=2^n=4$$

$$n = 3$$
,  $d = 2^3 = 8$ 





#### La matriz de Fourier

$$F_d = \frac{1}{\sqrt{d}} \left[ \varepsilon_d^{jk} \right]_{j,k=0}^{d-1}.$$

$$F_4 = rac{1}{\sqrt{4}} egin{bmatrix} arepsilon_4^0 & arepsilon_4^0 & arepsilon_4^0 & arepsilon_4^1 & arepsilon_4^2 & arepsilon_4^3 & arepsilon_4^2 & arepsilon_4^4 & arepsilon_4^6 & arepsilon_4^9 & arepsilon_4^3 & arepsilon_4^6 & arepsilon_4^9 & ar$$

La matriz  $F_d$  es unitaria:  $F_d^{\dagger}F_d = I_n$ .

#### Otras modificaciones de la matriz de Fourier

En métodos numéricos, es común usar otra versión de la matriz de Fourier:

$$\left[\varepsilon_d^{-jk}\right]_{j,k=0}^{d-1}.$$

Esta versión no es unitaria.

En el cómputo cuántico, siempre se usa una versión unitaria, con el coeficiente  $\frac{1}{\sqrt{d}}$ .

Además, nosotros ponemos la potencia  $\varepsilon_d^{jk}$ , en vez de  $\varepsilon_d^{-jk}$ . Esto no importa mucho.

#### La transformada finita de Fourier

Es la transformación lineal asociada a la matriz  $F_d$ :

$$\mathbb{C}^d \to \mathbb{C}^d$$
,  $x \mapsto F_d x$ .

$$(F_d x)_j = \frac{1}{\sqrt{d}} \sum_{k=0}^{d-1} \varepsilon_d^{jk} x_k.$$

En la computación cuántica, es incómodo pensar de esta manera.

Vamos a suponer que  $d=2^n$  y aplicar  $F_d$  a los vectores de la base canónica.

#### Vectores de la base canónica

Para n = 2 y  $d = 2^n = 4$ , los vectores de la base canónica son

$$|00
angle = egin{bmatrix} 1 \ 0 \ 0 \ 0 \end{bmatrix}, \qquad |01
angle = egin{bmatrix} 0 \ 1 \ 0 \ 0 \end{bmatrix}, \qquad |10
angle = egin{bmatrix} 0 \ 0 \ 1 \ 0 \end{bmatrix}, \qquad |11
angle = egin{bmatrix} 0 \ 0 \ 0 \ 1 \end{bmatrix}.$$

# Multiplicar la matriz de Fourier por los vectores básicos

$$F_4 \ket{10} = rac{1}{\sqrt{4}} egin{bmatrix} arepsilon_4^0 & arepsilon_4^0 & arepsilon_4^0 & arepsilon_4^0 & arepsilon_4^1 & arepsilon_4^2 & arepsilon_4^3 & arepsilon_4^6 & arepsilon_4^6 & arepsilon_4^6 & arepsilon_4^9 & arepsilon_4^6 & arepsilon_4^6 & arepsilon_4^6 & arepsilon_4^9 & arepsilon_4^6 & arepsilon_4^9 & arepsilon_4^6 & arepsilon_4^6$$

Descomponemos el vector obtenido en la misma base canónica:

$$F_4\ket{10} = rac{1}{2} \Big( arepsilon_4^0\ket{00} + arepsilon_4^2\ket{01} + arepsilon_4^4\ket{10} + arepsilon_4^6\ket{11} \Big).$$

Los coeficientes son las componentes de la segunda columna de la matriz  $F_4$  (contando desde 0).

# La transformada finita de Fourier aplicada a los vectores básicos

$$F_d \ket{j} = rac{1}{\sqrt{d}} \sum_{k=0}^{d-1} \varepsilon_d^{jk} \ket{k}.$$

El k-ésimo coeficiente de la combinación lineal,  $\frac{1}{\sqrt{d}} \varepsilon_d^{jk}$ , es la componente (k,j) de la matriz  $F_d$ .

#### Plan

- 1 La transformada finita de Fourier (repaso)
- Descomposiciones auxiliares
- O Descomposición de la transformada finita de Fourier
- 4 Algunas compuertas cuánticas (repaso)
- 5 Circuito de la transformada cuántica de Fourier

#### Números en el sistema binario

$j_1$	$j_2$	j <sub>3</sub>	$f(j_1, j_2, j_3) = 4j_1 + 2j_2 + j_3$
0	0	0	0
0	0	0	1
0	1	0	2
0	1	1	3
1	0	0	4
1	0	1	5
1	1	0	6
1	1	1	7

$$f: \{0,1\}^3 \to \{0,1,\ldots,7\},$$
  
 $f: (j_1,j_2,j_3) \mapsto 4j_1 + 2j_2 + j_3.$ 

#### Teorema

f es una biyección.

Sabemos que la siguiente función es una biyección:

$$f: \{0,1\}^3 \to \{0,1,\ldots,7\}, \qquad f(k_1,k_2,k_3) := 4k_1 + 2k_2 + k_3.$$

Sabemos que la siguiente función es una biyección:

$$f: \{0,1\}^3 \to \{0,1,\ldots,7\}, \qquad f(k_1,k_2,k_3) := 4k_1 + 2k_2 + k_3.$$

$$\sum_{k=0}^{7} \alpha_{k}$$

Sabemos que la siguiente función es una biyección:

$$f: \{0,1\}^3 \to \{0,1,\ldots,7\}, \qquad f(k_1,k_2,k_3) := 4k_1 + 2k_2 + k_3.$$

$$\sum_{k=0}^{7} \alpha_k =$$

Sabemos que la siguiente función es una biyección:

$$f: \{0,1\}^3 \to \{0,1,\ldots,7\}, \qquad f(k_1,k_2,k_3) := 4k_1 + 2k_2 + k_3.$$

$$\sum_{k=0}^{7} \alpha_k = \sum_{(k_1, k_2, k_3) \in \{0, 1\}^3} \alpha_{4k_1 + 2k_2 + k_3}$$

Sabemos que la siguiente función es una biyección:

$$f: \{0,1\}^3 \to \{0,1,\ldots,7\}, \qquad f(k_1,k_2,k_3) := 4k_1 + 2k_2 + k_3.$$

$$\sum_{k=0}^{7} \alpha_k = \sum_{(k_1, k_2, k_3) \in \{0, 1\}^3} \alpha_{4k_1 + 2k_2 + k_3} =$$

Sabemos que la siguiente función es una biyección:

$$f: \{0,1\}^3 \to \{0,1,\ldots,7\}, \qquad f(k_1,k_2,k_3) := 4k_1 + 2k_2 + k_3.$$

$$\sum_{k=0}^{7} \alpha_k = \sum_{(k_1, k_2, k_3) \in \{0, 1\}^3} \alpha_{4k_1 + 2k_2 + k_3} = \sum_{k_1 = 0}^{1} \sum_{k_2 = 0}^{1} \sum_{k_3 = 0}^{1} \alpha_{4k_1 + 2k_2 + k_3}.$$

# El producto de Kronecker de dos vectores

(en la notación usual de álgebra lineal)

Dados 
$$a = [a_j]_{j=0}^{p-1} \in \mathbb{C}^p$$
,  $b = [b_k]_{k=0}^{q-1} \in \mathbb{C}^q$ , 
$$(a \otimes b)_{qj+k} \coloneqq a_j b_k \qquad (0 \le j < p, \ 0 \le k < q).$$

$$egin{bmatrix} a_0 \ a_1 \ a_2 \end{bmatrix} \otimes egin{bmatrix} b_0 \ b_1 \end{bmatrix} = egin{bmatrix} a_0 \, b_0 \ a_0 \, b_1 \ a_1 \, b_0 \ a_1 \, b_1 \ a_2 \, b_0 \ a_2 \, b_1 \end{bmatrix}.$$

# La propiedad bilineal del producto de Kronecker

Si 
$$|a\rangle$$
,  $|b\rangle \in \mathbb{C}^m$ ,  $|c\rangle$ ,  $|d\rangle \in \mathbb{C}^n$ ,  $\xi$ ,  $\eta$ ,  $\sigma$ ,  $\tau \in \mathbb{C}$ , 
$$\Big(\xi \, |a\rangle + \eta \, |b\rangle\Big) \otimes |c\rangle = \xi\big(|a\rangle \otimes |c\rangle\big) + \eta\big(|b\rangle \otimes |c\rangle\big),$$
$$|a\rangle \otimes \Big(\sigma \, |c\rangle + \tau \, |d\rangle\Big) = \sigma\big(|a\rangle \otimes |c\rangle\big) + \tau\big(|a\rangle \otimes |d\rangle\big).$$

# Descomposición de los vectores de la base canónica

Para n = 2 y  $d = 2^n = 4$ ,

$$|00\rangle = \begin{bmatrix} 1 \\ 0 \\ 0 \\ 0 \end{bmatrix} = \begin{bmatrix} 1 \\ 0 \end{bmatrix} \otimes \begin{bmatrix} 1 \\ 0 \end{bmatrix} = |0\rangle \otimes |0\rangle \,, \qquad |01\rangle = \begin{bmatrix} 0 \\ 1 \\ 0 \\ 0 \end{bmatrix} = \begin{bmatrix} 1 \\ 0 \end{bmatrix} \otimes \begin{bmatrix} 0 \\ 1 \end{bmatrix} = |0\rangle \otimes |1\rangle \,,$$

$$|10\rangle = \begin{bmatrix} 0 \\ 0 \\ 1 \\ 0 \end{bmatrix} = \begin{bmatrix} 0 \\ 1 \end{bmatrix} \otimes \begin{bmatrix} 1 \\ 0 \end{bmatrix} = |1\rangle \otimes |0\rangle \,, \qquad |11\rangle = \begin{bmatrix} 0 \\ 0 \\ 0 \\ 1 \end{bmatrix} = \begin{bmatrix} 0 \\ 1 \end{bmatrix} \otimes \begin{bmatrix} 0 \\ 1 \end{bmatrix} = |1\rangle \otimes |1\rangle \,.$$

# El producto tensorial de tres estados mixtos

(usamos la propiedad 3-lineal)

Para 
$$n=3$$
 y  $d=2^3=8$ , 
$$\left(\alpha_{1,0} \ket{0}+\alpha_{1,1} \ket{1}\right) \otimes \left(\alpha_{2,0} \ket{0}+\alpha_{2,1} \ket{1}\right) \otimes \left(\alpha_{3,0} \ket{0}+\alpha_{3,1} \ket{1}\right)$$
 
$$= \alpha_{1,0} \alpha_{2,0} \alpha_{3,0} \ket{000} + \alpha_{1,0} \alpha_{2,0} \alpha_{3,1} \ket{001}$$
 
$$+ \alpha_{1,0} \alpha_{2,1} \alpha_{3,0} \ket{010} + \alpha_{1,0} \alpha_{2,1} \alpha_{3,1} \ket{011}$$
 
$$+ \alpha_{1,1} \alpha_{2,0} \alpha_{3,0} \ket{100} + \alpha_{1,1} \alpha_{2,0} \alpha_{3,1} \ket{101}$$
 
$$+ \alpha_{1,1} \alpha_{2,1} \alpha_{3,0} \ket{110} + \alpha_{1,1} \alpha_{2,1} \alpha_{3,1} \ket{111} .$$

# El producto tensorial de tres estados mixtos

(usamos la propiedad 3-lineal)

Para 
$$n=3$$
 y  $d=2^3=8$ , 
$$\left(\alpha_{1,0} \left|0\right\rangle + \alpha_{1,1} \left|1\right\rangle\right) \otimes \left(\alpha_{2,0} \left|0\right\rangle + \alpha_{2,1} \left|1\right\rangle\right) \otimes \left(\alpha_{3,0} \left|0\right\rangle + \alpha_{3,1} \left|1\right\rangle\right)$$
 
$$= \alpha_{1,0} \, \alpha_{2,0} \, \alpha_{3,0} \, \left|000\right\rangle + \, \alpha_{1,0} \, \alpha_{2,0} \, \alpha_{3,1} \, \left|001\right\rangle$$
 
$$+ \, \alpha_{1,0} \, \alpha_{2,1} \, \alpha_{3,0} \, \left|010\right\rangle + \, \alpha_{1,0} \, \alpha_{2,1} \, \alpha_{3,1} \, \left|011\right\rangle$$
 
$$+ \, \alpha_{1,1} \, \alpha_{2,0} \, \alpha_{3,0} \, \left|100\right\rangle + \, \alpha_{1,1} \, \alpha_{2,0} \, \alpha_{3,1} \, \left|101\right\rangle$$
 
$$+ \, \alpha_{1,1} \, \alpha_{2,1} \, \alpha_{3,0} \, \left|110\right\rangle + \, \alpha_{1,1} \, \alpha_{2,1} \, \alpha_{3,1} \, \left|111\right\rangle .$$

Nota: no todos elementos de  $\mathbb{C}^8$  son de esta forma.

## El producto tensorial de n estados mixtos

(usamos la propiedad polilineal)

Para n general y  $d = 2^n$ ,

$$\bigotimes_{q=1}^{n} \left( \alpha_{q,0} | 0 \rangle + \alpha_{q,1} | 1 \rangle \right) = \sum_{k=0}^{d-1} \left( \prod_{p=1}^{n} \alpha_{p,k_p} \right) | k \rangle$$
$$= \sum_{k_1=0}^{1} \dots \sum_{k_n=0}^{1} \left( \prod_{p=1}^{n} \alpha_{p,k_p} \right) | k_1 \dots k_p \rangle.$$

# Regla de simplificación para $\varepsilon_{mq}^{mp}$

Para cualesquiera p en  $\mathbb{N}$ , q en  $\mathbb{Z}$ , m en  $\mathbb{N}$ ,

$$arepsilon_{mq}^{mp} = \exp\left(rac{2\pi\,\mathrm{i}\,\,mq}{mp}
ight) = \exp\left(rac{2\pi\,\mathrm{i}\,q}{p}
ight) = arepsilon_q^p.$$

Por ejemplo,

$$\varepsilon_8^2 = \varepsilon_4, \qquad \varepsilon_{16}^{12} = \varepsilon_4^3.$$

# Descomposición de las potencias de $\varepsilon_d$

Por ejemplo, si 
$$j=4j_1+2j_2+j_3$$
, 
$$\varepsilon_8^{2j}=\varepsilon_8^{8j_1}\varepsilon_8^{4j_2}\varepsilon_8^{2j_3}=\varepsilon_2^{j_2}\varepsilon_4^{j_3},$$
 
$$\varepsilon_8^{4j}=\varepsilon_2^{j}=\varepsilon_2^{4j_1}\varepsilon_2^{2j_2}\varepsilon_2^{j_3}=\varepsilon_2^{j_3}.$$

#### Plan

- 1 La transformada finita de Fourier (repaso)
- 2 Descomposiciones auxiliares
- 3 Descomposición de la transformada finita de Fourier
- 4 Algunas compuertas cuánticas (repaso)
- 5 Circuito de la transformada cuántica de Fourier

# Descomposición de $F_{2^n}|j\rangle$

#### **Teorema**

Sean  $n \in \mathbb{N}$ ,  $d = 2^n$ ,  $j_1, \ldots, j_n \in \{0, 1\}$ . Entonces,

$$F_d | j_1 \dots j_n \rangle = \bigotimes_{p=1}^n \frac{|0\rangle + \left(\prod_{q=p}^n \varepsilon_{2^{q+1-p}}^{j_q}\right) |1\rangle}{\sqrt{2}}.$$

Por ejemplo, para n = 3,

$$F_8 \left| j \right\rangle = \frac{\left| 0 \right\rangle + \varepsilon_2^{j_3} \left| 1 \right\rangle}{\sqrt{2}} \; \otimes \; \frac{\left| 0 \right\rangle + \varepsilon_2^{j_2} \varepsilon_4^{j_3} \left| 1 \right\rangle}{\sqrt{2}} \; \otimes \; \frac{\left| 0 \right\rangle + \varepsilon_2^{j_1} \varepsilon_4^{j_2} \varepsilon_8^{j_3} \left| 1 \right\rangle}{\sqrt{2}}.$$

### Otra forma equivalente

$$F_{8} |j\rangle = \frac{|0\rangle + \varepsilon_{2}^{j_{3}} |1\rangle}{\sqrt{2}} \otimes \frac{|0\rangle + \varepsilon_{2}^{j_{2}} \varepsilon_{4}^{j_{3}} |1\rangle}{\sqrt{2}} \otimes \frac{|0\rangle + \varepsilon_{2}^{j_{1}} \varepsilon_{4}^{j_{2}} \varepsilon_{8}^{j_{3}} |1\rangle}{\sqrt{2}}.$$

$$F_{8} |j\rangle = \frac{|0\rangle + e^{2\pi i \ 0.j_{3}} |1\rangle}{\sqrt{2}} \otimes \frac{|0\rangle + e^{2\pi i \ 0.j_{2}j_{3}} |1\rangle}{\sqrt{2}} \otimes \frac{|0\rangle + e^{2\pi i \ 0.j_{2}j_{3}} |1\rangle}{\sqrt{2}}.$$

En esta forma, se utilizan fracciones binarias:

$$0.j_3 = \frac{j_3}{2}, \qquad 0.j_2j_3 = \frac{j_2}{2} + \frac{j_3}{4}, \qquad 0.j_1j_2j_3 = \frac{j_1}{2} + \frac{j_2}{4} + \frac{j_3}{8}.$$

#### Demostración, inicio

$$F_{8} |j\rangle = \frac{1}{\sqrt{8}} \sum_{k=0}^{7} \varepsilon_{8}^{jk} |k\rangle$$

$$= \frac{1}{\sqrt{8}} \sum_{k_{1}=0}^{1} \sum_{k_{2}=0}^{1} \sum_{k_{3}=0}^{1} \varepsilon_{8}^{j(4k_{1}+2k_{2}+k_{3})} |k_{1}k_{2}k_{3}\rangle$$

$$= \frac{1}{\sqrt{8}} \sum_{k_{1}=0}^{1} \sum_{k_{2}=0}^{1} \sum_{k_{3}=0}^{1} \varepsilon_{8}^{4jk_{1}} \varepsilon_{8}^{2jk_{2}} \varepsilon_{8}^{jk_{3}} |k_{1}\rangle \otimes |k_{2}\rangle \otimes |k_{3}\rangle$$

$$= \left(\frac{1}{\sqrt{2}} \sum_{k_{1}=0}^{1} \varepsilon_{8}^{4jk_{1}} |k_{1}\rangle\right) \otimes \left(\frac{1}{\sqrt{2}} \sum_{k_{2}=0}^{1} \varepsilon_{8}^{2jk_{2}} |k_{2}\rangle\right) \otimes \left(\frac{1}{\sqrt{2}} \sum_{k_{3}=0}^{1} \varepsilon_{8}^{jk_{3}} |k_{3}\rangle\right).$$

### Demostración, final

$$F_{8} |j\rangle = \left(\frac{1}{\sqrt{2}} \sum_{k_{1}=0}^{1} \varepsilon_{8}^{4jk_{1}} |k_{1}\rangle\right) \otimes \left(\frac{1}{\sqrt{2}} \sum_{k_{2}=0}^{1} \varepsilon_{8}^{2jk_{2}} |k_{2}\rangle\right) \otimes \left(\frac{1}{\sqrt{2}} \sum_{k_{3}=0}^{1} \varepsilon_{8}^{jk_{3}} |k_{3}\rangle\right)$$

$$= \frac{|0\rangle + \varepsilon_{2}^{j} |1\rangle}{\sqrt{2}} \otimes \frac{|0\rangle + \varepsilon_{4}^{j} |1\rangle}{\sqrt{2}} \otimes \frac{|0\rangle + \varepsilon_{8}^{j} |1\rangle}{\sqrt{2}}$$

$$= \frac{|0\rangle + \varepsilon_{2}^{4j_{1}} \varepsilon_{2}^{2j_{2}} \varepsilon_{2}^{j_{3}} |1\rangle}{\sqrt{2}} \otimes \frac{|0\rangle + \varepsilon_{4}^{4j_{1}} \varepsilon_{4}^{2j_{2}} \varepsilon_{4}^{j_{3}} |1\rangle}{\sqrt{2}} \otimes \frac{|0\rangle + \varepsilon_{8}^{4j_{1}} \varepsilon_{8}^{2j_{2}} \varepsilon_{8}^{j_{3}} |1\rangle}{\sqrt{2}}$$

$$= \frac{|0\rangle + \varepsilon_{2}^{j_{3}} |1\rangle}{\sqrt{2}} \otimes \frac{|0\rangle + \varepsilon_{2}^{j_{2}} \varepsilon_{4}^{j_{3}} |1\rangle}{\sqrt{2}} \otimes \frac{|0\rangle + \varepsilon_{2}^{j_{1}} \varepsilon_{4}^{j_{2}} \varepsilon_{8}^{j_{3}} |1\rangle}{\sqrt{2}}.$$

Hemos mostrado que  $F_8 |j\rangle$  se descompone en operaciones más simples:

$$F_8 \left| j \right\rangle = \frac{\left| 0 \right\rangle + \varepsilon_2^{j_3} \left| 1 \right\rangle}{\sqrt{2}} \; \otimes \; \frac{\left| 0 \right\rangle + \varepsilon_2^{j_2} \varepsilon_4^{j_3} \left| 1 \right\rangle}{\sqrt{2}} \; \otimes \; \frac{\left| 0 \right\rangle + \varepsilon_2^{j_1} \varepsilon_4^{j_2} \varepsilon_8^{j_3} \left| 1 \right\rangle}{\sqrt{2}}.$$

En lo que sigue, mostraremos que estas operaciones se pueden realizar por medio de algunas compuertas cuánticas "elementales".

#### Plan

- 1 La transformada finita de Fourier (repaso)
- Descomposiciones auxiliares
- 3 Descomposición de la transformada finita de Fourier
- Algunas compuertas cuánticas (repaso)
- 5 Circuito de la transformada cuántica de Fourier

#### La compuerta de Hadamard

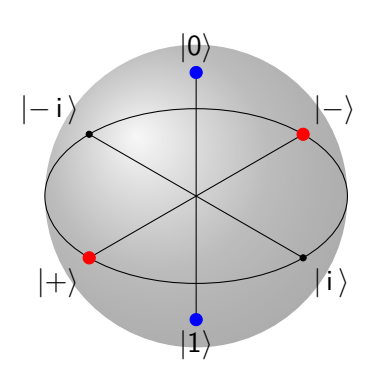
$$H \coloneqq rac{1}{\sqrt{2}} egin{bmatrix} 1 & 1 \ 1 & -1 \end{bmatrix}.$$

$$H \left| 0 \right\rangle = rac{1}{\sqrt{2}} \left[ egin{matrix} 1 & 1 \ 1 & -1 \end{matrix} \right] \left[ egin{matrix} 1 \ 0 \end{matrix} 
ight] = rac{1}{\sqrt{2}} \left[ egin{matrix} 1 \ 1 \end{matrix} 
ight] = rac{\left| 0 \right\rangle + \left| 1 \right\rangle}{\sqrt{2}} = \left| + \right\rangle,$$

$$H\ket{1} = rac{1}{\sqrt{2}}egin{bmatrix} 1 & 1 \ 1 & -1 \end{bmatrix}egin{bmatrix} 0 \ 1 \end{bmatrix} = rac{1}{\sqrt{2}}egin{bmatrix} 1 \ -1 \end{bmatrix} = rac{\ket{0}-\ket{1}}{\sqrt{2}} = \ket{-}.$$

$$H\ket{s} = \frac{\ket{0} + (-1)^s \ket{1}}{\sqrt{2}}.$$

## El sentido geométrico de la compuerta de Hadamard en la esfera de Bloch



$$H|0\rangle = |+\rangle = \frac{|0\rangle + |1\rangle}{\sqrt{2}},$$

$$H\ket{1}=\ket{-}=rac{\ket{0}-\ket{1}}{\sqrt{2}},$$

$$H|s\rangle = \frac{|0\rangle + (-1)^s |1\rangle}{\sqrt{2}}.$$

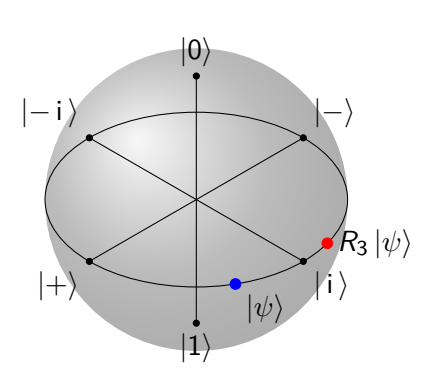
#### La compuerta $R_p$ , donde $p \in \mathbb{N}$

$$R_p := egin{bmatrix} 1 & 0 \ 0 & arepsilon_{2^p} \end{bmatrix} = egin{bmatrix} 1 & 0 \ 0 & \mathrm{e}^{rac{2\pi \mathrm{i}}{2^p}} \end{bmatrix}.$$

$$R_{p}\left|0\right\rangle =\left|0\right
angle \,,\qquad R_{p}\left|1\right
angle =arepsilon _{2^{p}}\left|1
ight
angle \,.$$

$$R_{p} \frac{|0\rangle + e^{i\varphi} |1\rangle}{\sqrt{2}} = \frac{|0\rangle + e^{i\left(\varphi + \frac{2\pi}{2p}\right)} |1\rangle}{\sqrt{2}}.$$

## El sentido geométrico de $R_3$ en la esfera de Bloch



$$|\psi\rangle = rac{|0
angle + \mathrm{e}^{\mathrm{i}\,arphi}\,|1
angle}{\sqrt{2}},$$

$$R_3 \ket{\psi} = rac{\ket{0} + \mathrm{e}^{\mathrm{i}\left(arphi + rac{\pi}{4}
ight)}\ket{1}}{\sqrt{2}}.$$

## $C_{12}R_p$ ( $R_p$ controlado)

$$C_{12}R_{p} = egin{bmatrix} 1 & 0 & 0 & 0 \ 0 & 1 & 0 & 0 \ 0 & 0 & 1 & 0 \ 0 & 0 & 0 & arepsilon_{2^{p}} \end{bmatrix} \hspace{1cm} egin{array}{c} C_{12}R_{p} \ket{00} = \ket{00} \,, \ C_{12}R_{p} \ket{01} = \ket{01} \,, \ C_{12}R_{p} \ket{10} = \ket{10} \,, \ C_{12}R_{p} \ket{11} = arepsilon_{2^{p}} \ket{11} \,. \end{array}$$

#### **Teorema**

Para cada  $j_1$  en  $\{0,1\}$  y cada  $\xi, \eta$  en  $\mathbb{C}$ ,

$$C_{12}R_{p} \ \left( \left. \left| j_{1} 
ight
angle \otimes \left( \xi \left| 0 
ight
angle + \eta \left| 1 
ight
angle 
ight) 
ight) = \left| j_{1} 
ight
angle \otimes \left( \xi \left| 0 
ight
angle + \eta arepsilon_{2^{p}}^{j_{1}} \left| 1 
ight
angle 
ight).$$

#### Demostración

$$\left|f\right\rangle \coloneqq \mathit{C}_{12}\mathit{R}_{p} \; \left(\left|j_{1}\right\rangle \otimes \left(\xi\left|0\right\rangle + \eta\left|1\right\rangle\right)\right) = \xi \; \mathit{C}_{12}\mathit{R}_{p} \; \left|j_{1}0\right\rangle + \eta \; \mathit{C}_{12}\mathit{R}_{p} \; \left|j_{1}1\right\rangle.$$

Tenemos dos casos:

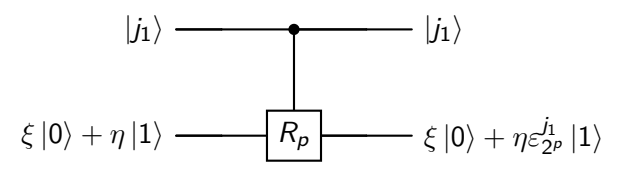
$$\ket{f} = egin{cases} \xi \ket{00} + \eta \ket{01}, & j_1 = 0; \ \xi \ket{10} + \eta arepsilon_{2^p} \ket{11}, & j_1 = 1. \end{cases}$$

Finalmente, unimos estos dos casos:

$$|f\rangle = \xi |j_10\rangle + \eta \varepsilon_{2^p}^{j_1} |j_11\rangle = |j_1\rangle \otimes (\xi |0\rangle + \eta \varepsilon_{2^p} |1\rangle).$$

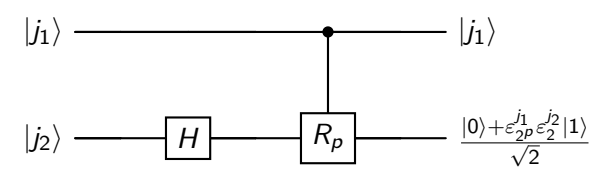
## $C_{12}R_p$

$$C_{12}R_{p} \; \left( \ket{j_{1}} \otimes \left( \xi \ket{0} + \eta \ket{1} \right) \right) = \ket{j_{1}} \otimes \left( \xi \ket{0} + \eta \varepsilon_{2^{p}}^{j_{1}} \ket{1} \right).$$



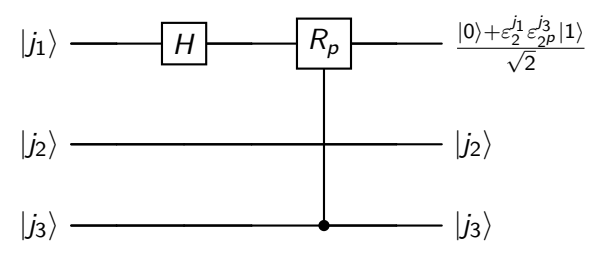
#### $C_{12}R_p$ después de $I\otimes H$

$$C_{12}R_{p}\left(I\otimes H\right)\left(\left|j_{1}\right\rangle\otimes\left|j_{2}\right\rangle\right)=\left|j_{1}\right\rangle\otimes\frac{\left|0\right\rangle+\varepsilon_{2^{p}}^{J_{1}}\varepsilon_{2}^{J_{2}}\left|1\right\rangle}{\sqrt{2}}.$$



#### $C_{31}R_p$ después de $H \otimes I \otimes I$

$$C_{31}R_{p}\left(H\otimes I\otimes I\right)\left|j_{1}j_{2}j_{3}\right\rangle = \frac{\left|0\right\rangle + \varepsilon_{2}^{j_{1}}\varepsilon_{2^{p}}^{j_{3}}\left|1\right\rangle}{\sqrt{2}}\otimes\left|j_{2}\right\rangle\otimes\left|j_{3}\right\rangle.$$

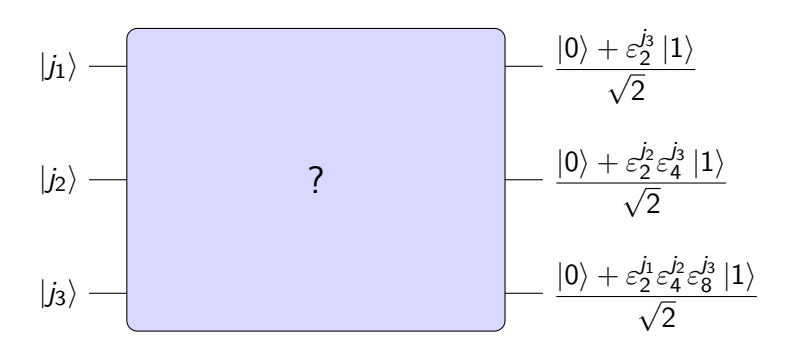


#### Plan

- 1 La transformada finita de Fourier (repaso)
- Descomposiciones auxiliares
- O Descomposición de la transformada finita de Fourier
- 4 Algunas compuertas cuánticas (repaso)
- 5 Circuito de la transformada cuántica de Fourier

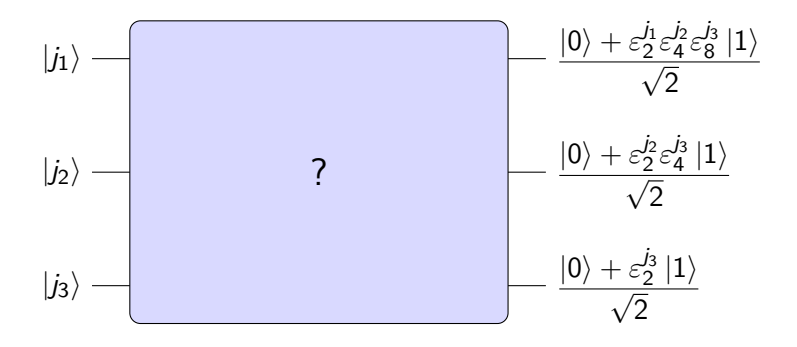
#### Buscamos un circuito que haga la siguiente transformación

$$|j_1j_2j_3\rangle \ \mapsto \ \frac{|0\rangle + \varepsilon_2^{j_3} \ |1\rangle}{\sqrt{2}} \ \otimes \ \frac{|0\rangle + \varepsilon_2^{j_2}\varepsilon_4^{j_3} \ |1\rangle}{\sqrt{2}} \ \otimes \ \frac{|0\rangle + \varepsilon_2^{j_1}\varepsilon_4^{j_2}\varepsilon_8^{j_3} \ |1\rangle}{\sqrt{2}}.$$

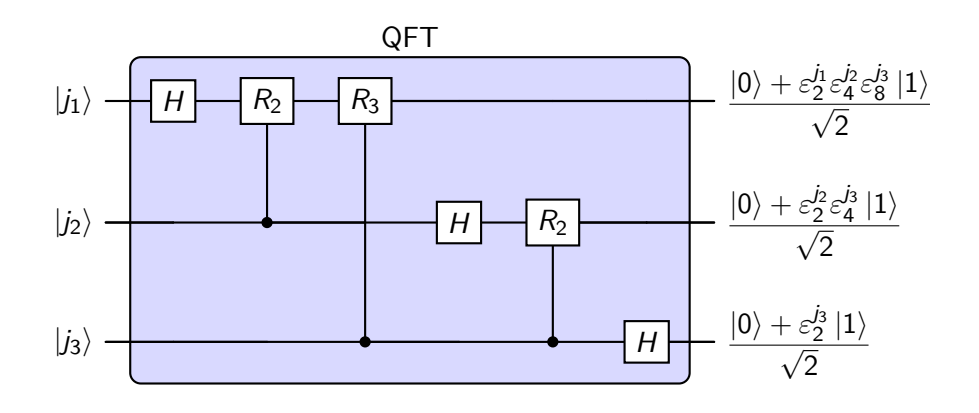


#### Buscamos un circuito que haga la siguiente transformación

Mejor, cambiamos el orden de las salidas.



#### El circuito de la transformada cuántica de Fourier para n=3



# El número de las compuertas cuánticas en el circuito "transformada cuántica de Fourier"

Para n = 3, tenemos 6 compuertas cuánticas:

$$3+2+1=6$$
.

Para n general, el número de las compuertas cuánticas es

$$n+(n-1)+\cdots+2+1=\frac{n(n+1)}{2}\approx \frac{1}{2}(\log_2 d)^2.$$

Este número es muy pequeño comparando con la dimensión d.

#### Algunas aplicaciones de la transformada cuántica de Fourier

- El algoritmo de Shor para factorizar números naturales.
- Determinación del logaritmo discreto.
- El algoritmo de estimación de fase.
- Operaciones aritméticas con registros cuánticos.
- Solución del problema del subgrupo escondido.